

内核半径の異なる回転球殻における 地球ダイナモ維持に必要な レイリー数に関する研究

西田有輝¹, 加藤雄人¹, 松井宏晃², 熊本篤志¹

¹東北大学大学院理学研究科,

²カリフォルニア大学デービス校

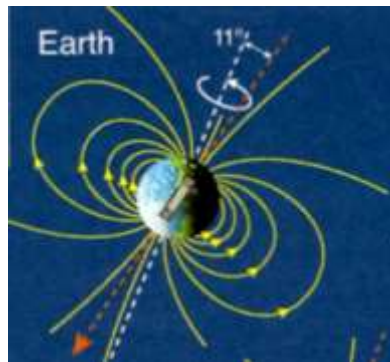
1. 導入

1.1 地球磁場とダイナモ

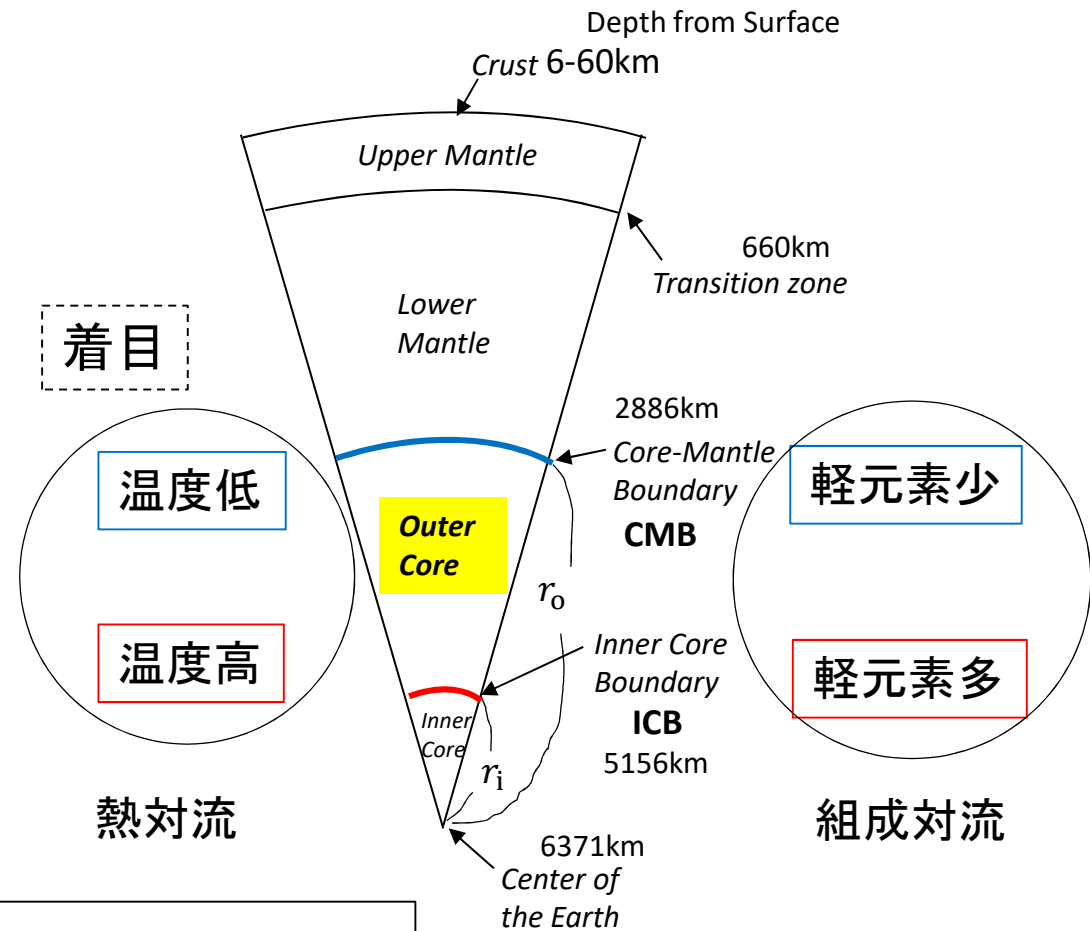
双極子磁場(“棒磁石”)

磁気モーメント

$$7.7 \times 10^{22} \text{ Am}^2$$



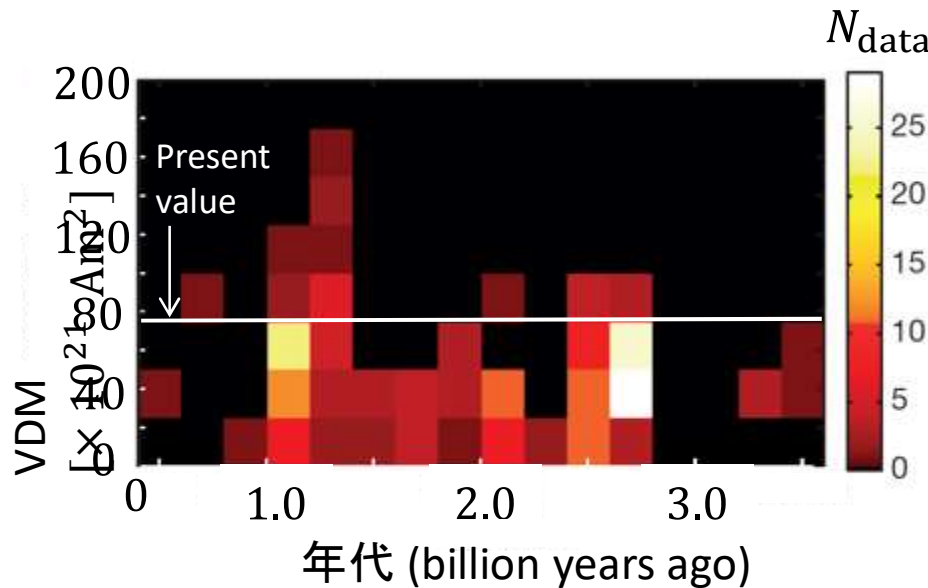
[Encyclopedia of the solar system
2nd. ed., credit: Steve Bartlett]



流体Fe (+ Si,O,Mg,...)が対流

運動エネルギーが磁気エネルギーに変換
= “ダイナモ過程”

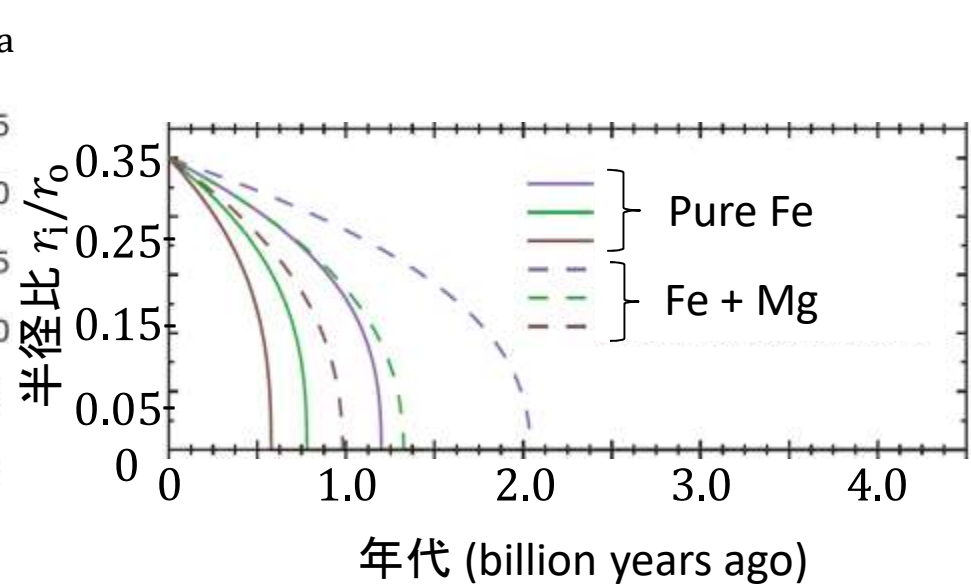
1.2 過去の地球



[Biggin et al., 2015]

VDM(仮想双極子モーメント)は当時の地球の磁気モーメントを古地磁気から推定したもの

古地磁気記録から地球磁場は少なくとも過去**35億年間**維持されてきたと考えられている



[O'Rourke & Stevenson, 2016]

+

熱進化モデル計算より, 過去約10億年かけて内核は **$r_i/r_o = 0$** から**0.35**へと連続的に成長してきたと議論されている

--> 様々な内核サイズにおける対流を調査することは重要

1.3 パラメーター

無次元化した運動方程式

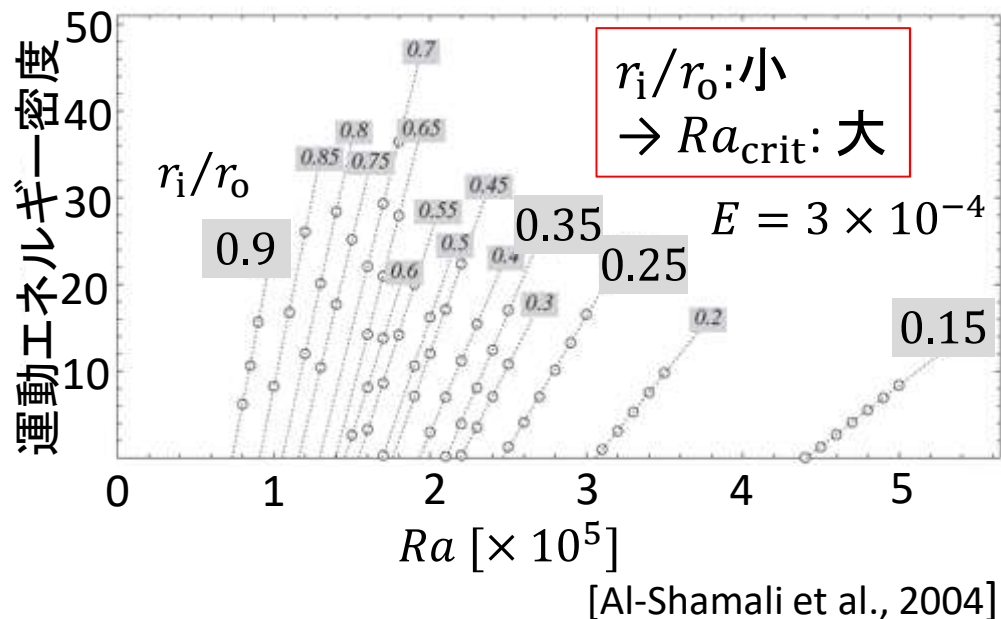
$$\frac{\partial \mathbf{u}}{\partial t} + (\nabla \times \mathbf{u}) \times \mathbf{u} = -\nabla \left(P + \frac{1}{2} \mathbf{u}^2 \right) - \underbrace{\nabla \times (\nabla \times \mathbf{u})}_{\text{粘性項}} + \underbrace{\frac{Ra}{Pr} T \frac{\mathbf{r}}{r_0}}_{\text{浮力}} - \underbrace{\frac{2}{E} \mathbf{e}_z \times \mathbf{u}}_{\text{コリオリカ}} + \underbrace{\frac{1}{Pm \cdot E} (\nabla \times \mathbf{B}) \times \mathbf{B}}_{\text{ローレンツカ}}$$

Name	Symbol	Definition	Estimation
Rayleigh number	Ra	$\alpha_T g_0 (\Delta T) L^3 / \nu \kappa_T$	5.8×10^{28} <-- 浮力/拡散
Ekman number	E	$\nu / \Omega L^2$	2.7×10^{-15}
Prandtl number	Pr	ν / κ_T	0.1
Magnetic Prandtl number	Pm	ν / η	1.0×10^{-6}

長さ	$L (= r_o - r_i)$	圧力	$\rho_0 v^2 / L^2$
時間	L^2 / ν	温度	ΔT
速度	ν / L	磁場	$\sqrt{\rho_0 \mu_0 \Omega \eta}$

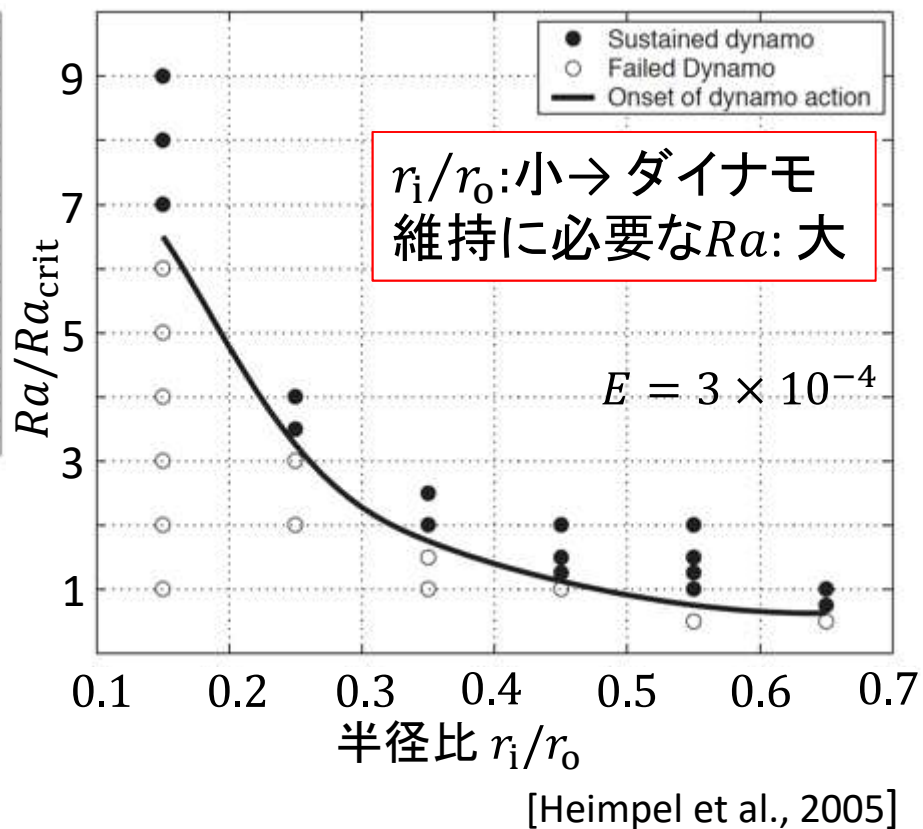
1.4 半径比とレイリー数の関係

磁場なし熱対流シミュレーション



臨界レイリー数 Ra_{crit}
 ...熱対流のonsetを表す

磁場ありMHDシミュレーション

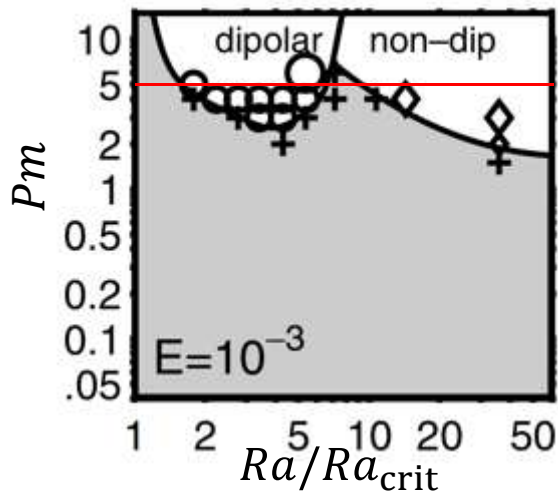


1.5 研究の目的

過去の地球の外核における対流を十分に理解するために、
 数値ダイナモコードCalypso [Matsui et al., 2014]を用いて、
 現在より小さい内核設定でこれまで調査されていないパラメーター
 でダイナモ作用の特徴・性質を調べた。

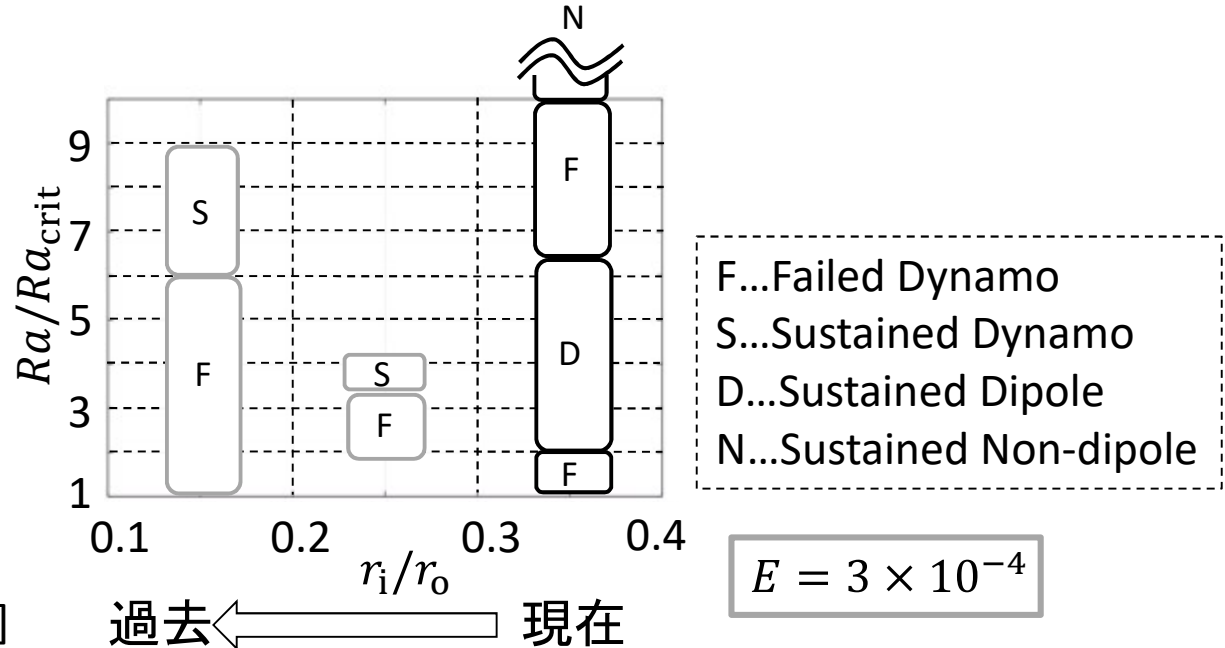
- ・ **広い範囲**のレイリー数
- ・ ダイナモレジームを**定量的**に評価

現在の半径比における
 ダイナモレジーム



[Christensen and Aubert, 2006]

本研究 $E = 1 \times 10^{-3}$



2. 手法

2.1 支配方程式

$$\text{運動方程式} \quad \rho_0 \left(\frac{\partial \mathbf{u}}{\partial t} + (\mathbf{u} \cdot \nabla) \mathbf{u} \right) = -\nabla P + \rho_0 \nu \nabla^2 \mathbf{u} + \rho \mathbf{g} - 2\rho_0 \boldsymbol{\Omega} \times \mathbf{u} + \mathbf{J} \times \mathbf{B}$$

$$\left[\begin{array}{l} \text{ブジネスク近似; } \rho = \rho_0 [1 - \alpha(T - T_0)] \dots \text{浮力に関する項のみ密度変化を考慮} \\ \text{電流... } \mathbf{J} = (1/\mu_0) \nabla \times \mathbf{B} \end{array} \right]$$

$$\text{熱拡散方程式} \quad \frac{\partial T}{\partial t} + (\mathbf{u} \cdot \nabla) T = \kappa_T \nabla^2 T$$

$$\text{非圧縮流体の連続の式} \quad \nabla \cdot \mathbf{u} = 0$$

$$\text{磁場の誘導方程式} \quad \frac{\partial \mathbf{B}}{\partial t} = \nabla \times (\mathbf{u} \times \mathbf{B}) + \eta \nabla^2 \mathbf{B}$$

$$\text{磁場に関するガウスの法則} \quad \nabla \cdot \mathbf{B} = 0$$

無次元化

$$\frac{\partial \mathbf{u}}{\partial t} + (\nabla \times \mathbf{u}) \times \mathbf{u} = -\nabla \left(P + \frac{1}{2} \mathbf{u}^2 \right) - \nabla \times (\nabla \times \mathbf{u}) + \frac{Ra}{Pr} T \frac{\mathbf{r}}{r_0} - \frac{2}{E} \mathbf{e}_z \times \mathbf{u} + \frac{1}{Pm \cdot E} (\nabla \times \mathbf{B}) \times \mathbf{B}$$

$$\frac{\partial T}{\partial t} = -(\mathbf{u} \cdot \nabla) T + \frac{1}{Pr} \nabla^2 T, \quad \nabla \cdot \mathbf{u} = 0, \quad \frac{\partial \mathbf{B}}{\partial t} = \nabla \times (\mathbf{u} \times \mathbf{B}) - \frac{1}{Pm} \nabla \times (\nabla \times \mathbf{B}), \quad \nabla \cdot \mathbf{B} = 0$$

2.2 コードと初期/境界条件

数値ダイナモコード Calypso [Matsui et al., 2014].

- 動径方向微分... 2次有限差分法
- スペクトル法
 - ベクトル場はソレノイド... ポロイダル成分+トロイダル成分に分解
- 時間ステップ
 - 線形拡散項... Crank-Nicolson法
 - コリオリ力と非線形項... 2次Adam-Bashforth法

初期条件

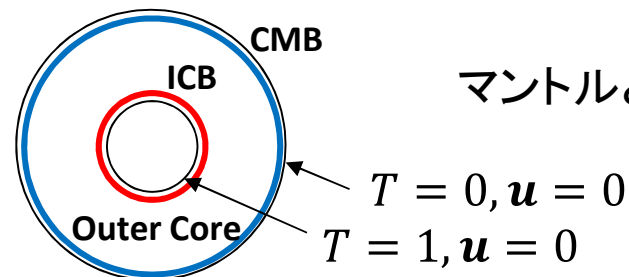
様々なモードの温度擾乱を与える:

$$T(r, \theta, \phi) = \sum_{l=1}^{l_{\max}} T_l^l(r) Y_l^l(\theta, \phi)$$

種磁場として軸対称なダイポールを与える:

$$\mathbf{B} = \nabla \times \nabla \times (B_{S1}^0(r) Y_1^0(\theta, \phi) \hat{r}) + \nabla \times (B_{T2}^0(r) Y_2^0(\theta, \phi) \hat{r})$$

境界条件



マントルと内核...電氣的に絶縁

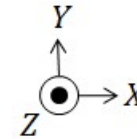
3. 結果と考察

3.1 パラメーター設定と典型的な例

	Case 1	Case 2	Case 3
r_i/r_o	0.15	0.25	0.35
$Ra[\times 10^5]$	5.0~8.7	1.4~7.0	0.84~4.5
Ra/Ra_{crit}	4.6~8.0	1.9~9.7	1.5~8.0

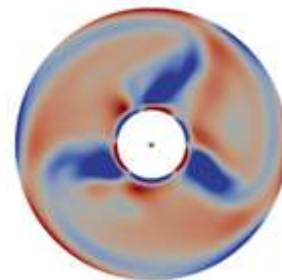
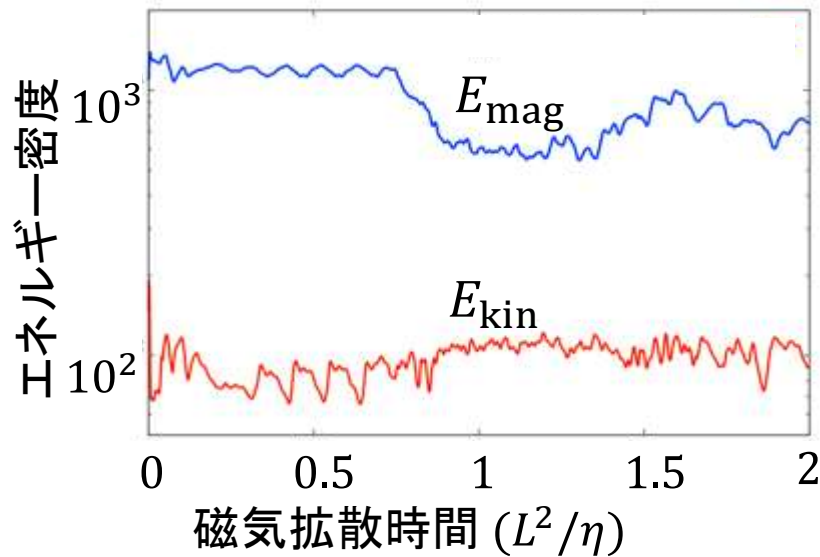
$$E = 1 \times 10^{-3}, Pr = 1, Pm = 5$$

Grids $(N_r, N_\theta, N_\phi) = (81, 96, 192), l_{max} = 63$

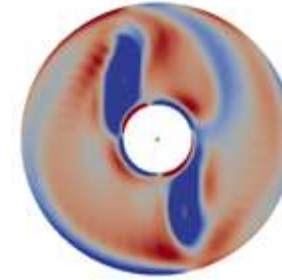


$\ln r_i/r_o = 0.25$

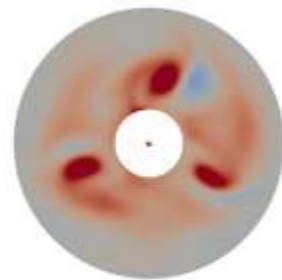
$Ra/Ra_{crit} = 3.1 (Ra = 2.2 \times 10^5)$



$\omega_z(t = 1.0)$



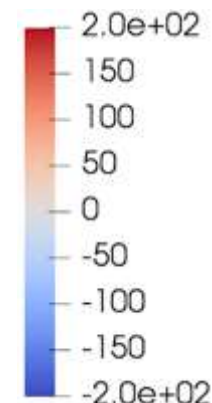
$\omega_z(t = 1.5)$



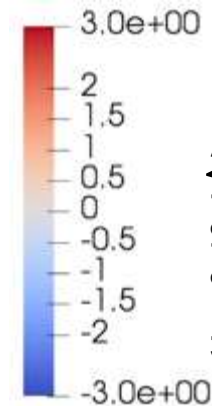
$B_z(t = 1.0)$



$B_z(t = 1.5)$



渦度 (v/L^2)

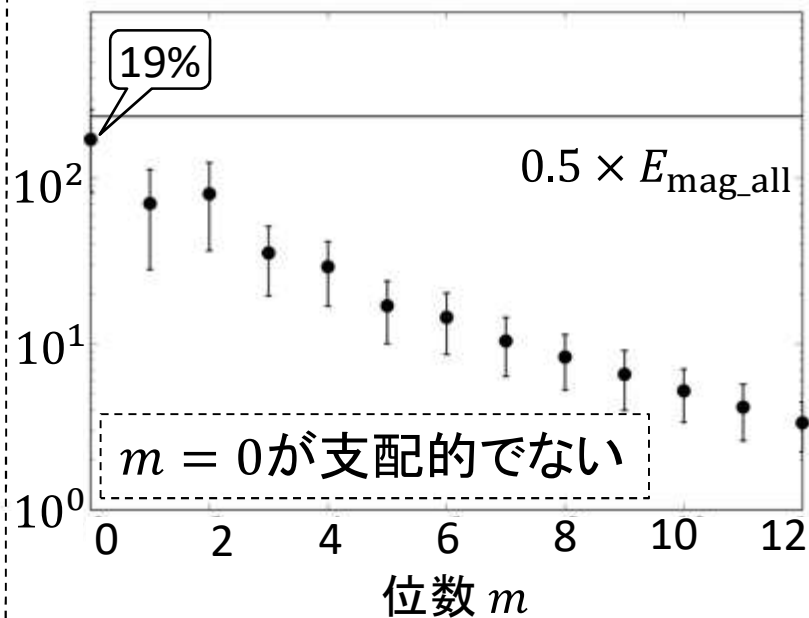
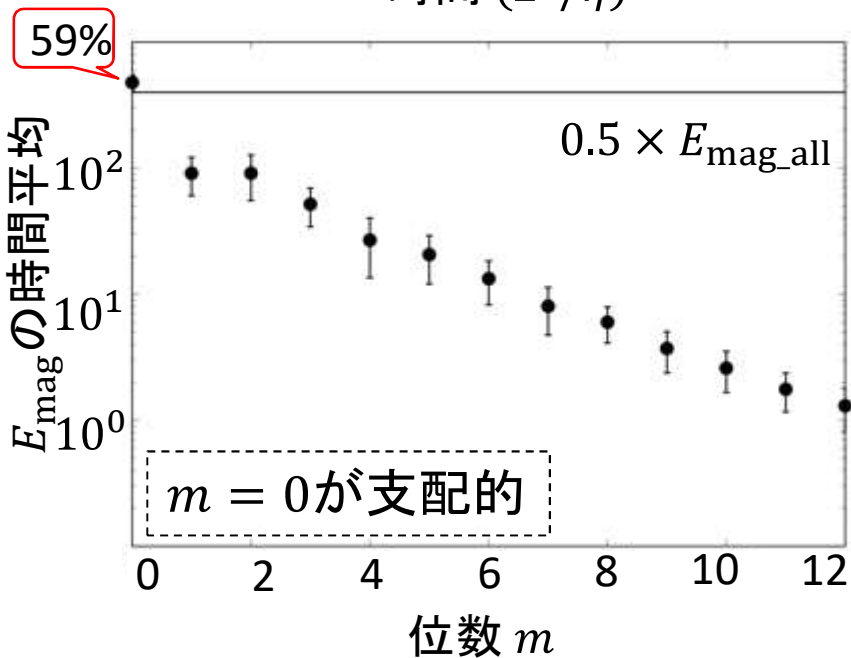
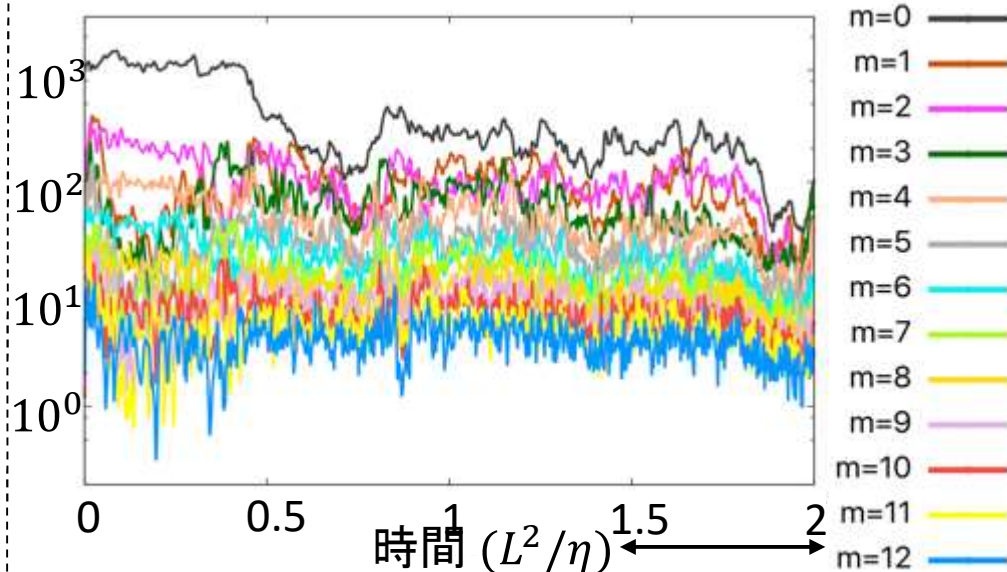
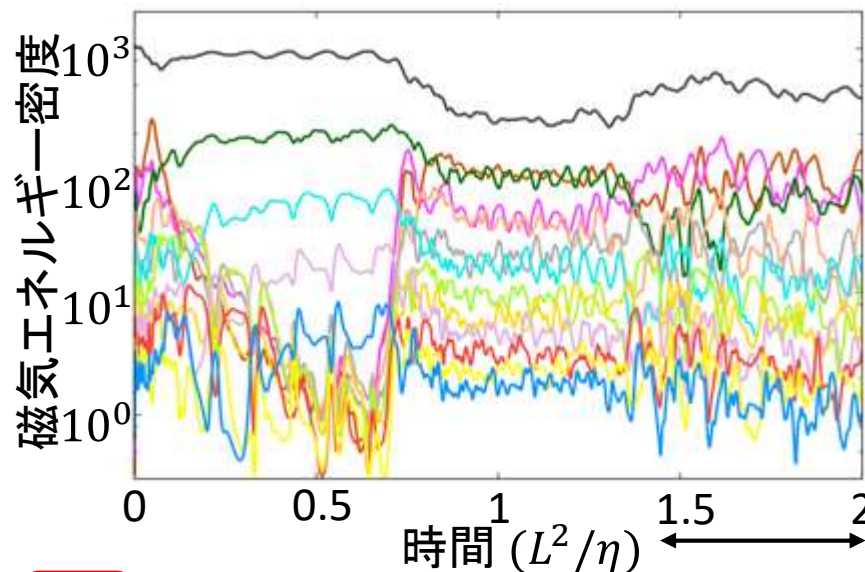


磁場 ($\sqrt{\rho_0 \mu_0 \Omega \eta}$)

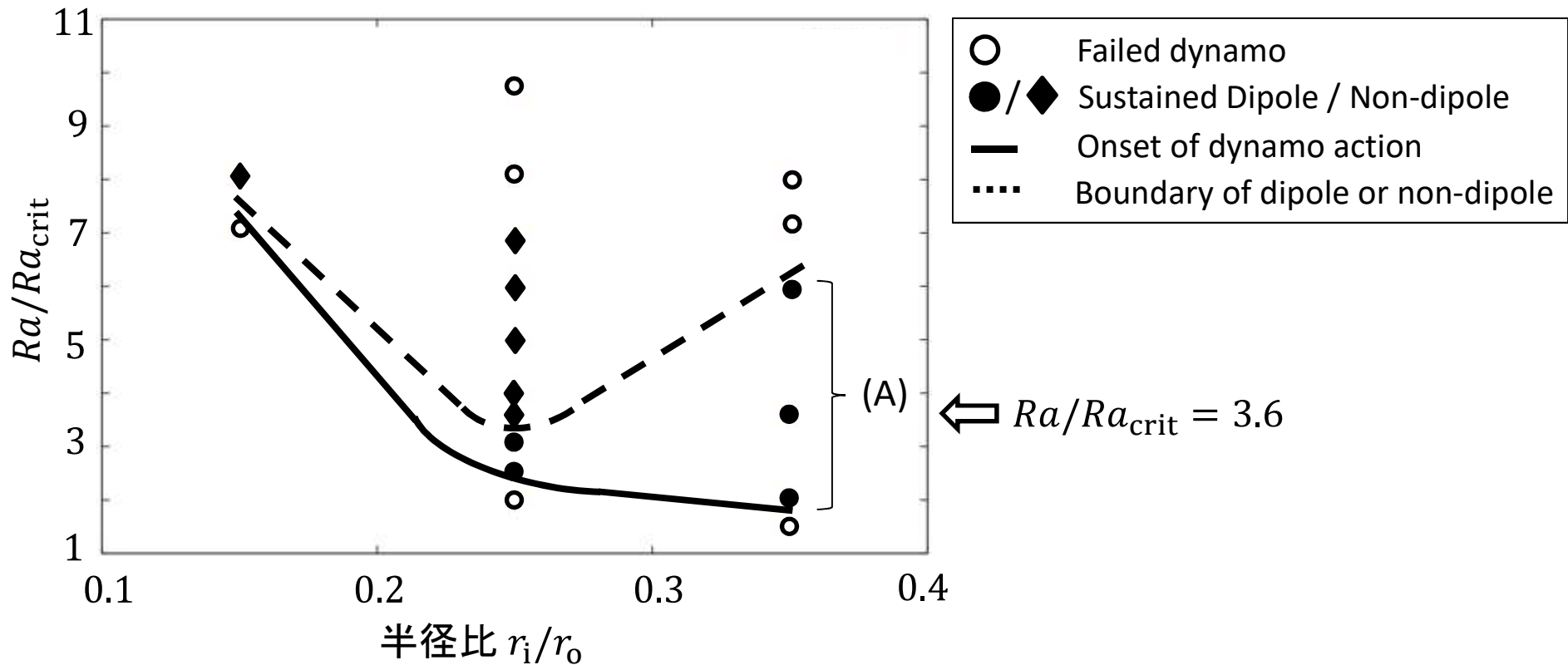
3.2 DipoleかNon-dipoleの基準

Dipole $Ra/Ra_{crit} = 3.1$ ($Ra = 2.2 \times 10^5$)

Non-dipole $Ra/Ra_{crit} = 5.0$ ($Ra = 3.6 \times 10^5$)



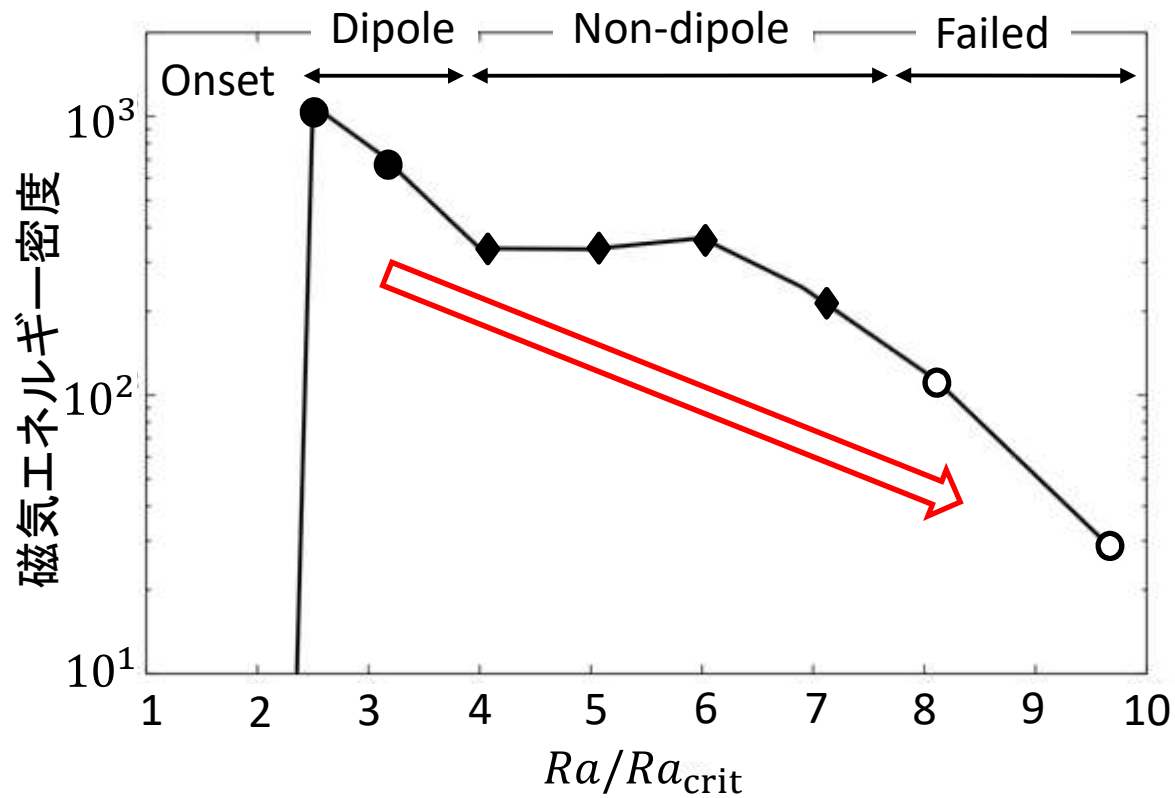
3.3 ダイナモレジーム



r_i/r_o : 小 \rightarrow Dipoleが支配的な範囲: 狭くなる ... (A)

・ $r_i/r_o = 0.35$ ではDipoleの範囲が広い, $r_i/r_o = 0.25$ ではNon-dipoleの範囲が広い

3.4 磁気エネルギーとレイリー数の関係



$t = 1.5$ から2までの
 E_{mag} の時間平均

E_{mag} はonsetで最大
 Ra/Ra_{crit} : 大 \rightarrow E_{mag} : 小

3.5 磁気モーメント比較

磁気双極子モーメント M

r_i/r_o	$Ra[\times 10^5]$	Ra/Ra_{crit}	Dynamo regime	$M[\times 10^{21} Am^2]$
0.15	7.6	7.0	Non-dipole	1.90
0.25	1.8	2.5	Dipole	9.07
0.25	2.2	3.1	Dipole	4.96
0.25	2.6	3.6	Non-dipole	2.46 ←
0.25	3.6	5.0	Non-dipole	1.80
0.25	5.0	6.9	Non-dipole	1.71
0.35	1.1	2.0	Dipole	8.36
0.35	2.0	3.6	Dipole	6.84 ←
0.35	3.4	6.1	Dipole	4.33

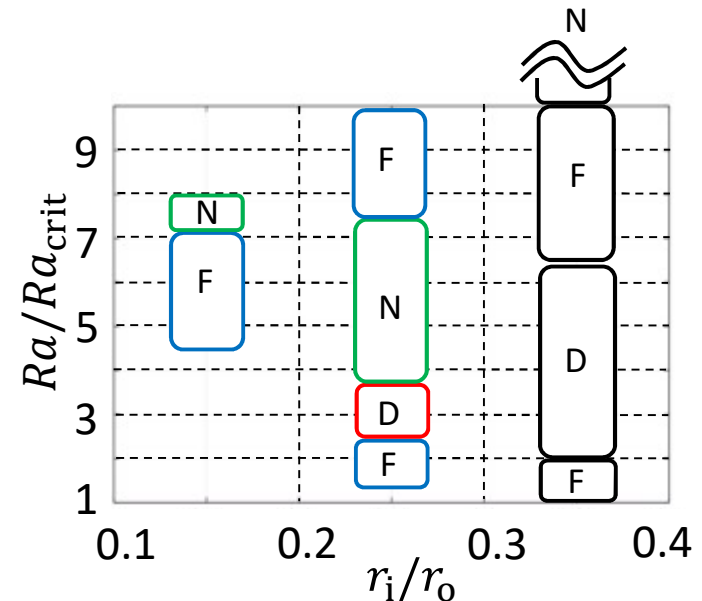
r_i/r_o : 小 \rightarrow M : 小

Dipoleが支配的になる対流: 起きにくくなる

4. 結論

過去の地球環境におけるダイナモ作用を理解するため、本研究では一連のシミュレーションを行い、半径比が $r_i/r_0 = 0.15, 0.25, 0.35$ の場合に広い範囲のレイリー数で対流の特徴を明らかにし、またダイナモレジームを定量的に評価した。

- 半径比とレイリー数の関係
 r_i/r_0 : 小 \rightarrow Dipoleが支配的な領域: 狭くなる
- $r_i/r_0 = 0.25$ におけるダイナモレジーム
 Ra/Ra_{crit} : 大 $\rightarrow E_{mag}$: 小
- 半径比と双極子モーメントの関係
 r_i/r_0 : 小 \rightarrow Dipoleが支配的な対流: 起きにくくなる



F...Failed Dynamo
D...Sustained Dipole
N...Sustained Non-dipole

5. Future work

Question

今回見えたダイナモレジームの傾向は異なるエクマン数でも普遍的か?
Dipoleを維持するために追加のソースが必要か?

ダイナモを起きやすくするために

- ・ エクマン数を小さくする: $E = 10^{-3} \rightarrow 10^{-4}, 10^{-5}$
+磁気プラントル数を小さく設定する

現実の推定値 $E = 10^{-15}$ に近い値で傾向が普遍的か検証

追加のソースとして

- ・ **組成対流**
寄与度を測る、double diffusivityを考慮する

別のジオメトリーとして

- ・ **完全球体**(内核なし)
初期地球における特徴を調べる

References

- Al-Shamali, F. M., Heimpel, M. H., and Aurnou, J. M. (2004) "Varying the spherical shell geometry in rotating thermal convection", *Geophysical and Astrophysical Fluid Dynamics*, 98(2): 153-169, doi:10.1080/0309192041000165928
- Biggin, A. J., Piispa, E. J., Holme, R., Paterson, G. A., Veikkolaonen, T., and Tauxe, L. (2015) "Paleomagnetic field intensity variations suggest Mesoproterozoic inner-core nucleation", *Nature*, 526: 245-248, doi:10.1038/nature15523
- Busse, F. H. (1970) "Thermal instabilities in rapidly rotating systems", *Journal of Fluid Mechanics*, 44(3): 441-460
- Calkins, M. A., Julien, K., and Tobias, S. (2017) "Inertia-less convectively-driven dynamo models in the limit of low Rossby number and large Prandtl number", *Physics of the Earth and Planetary Interiors*, 266: 54-59, doi:10.1016/j.pepi.2017.03.003
- Chandrasekhar, S. (1961) *Hydrodynamic and hydromagnetic stability*, Oxford at the Clarendon Press
- Christensen, U. R., Aubert, J., Cardin, P., Dormy, E., Gibbon, S., Glatzmaier, G. A., Grote, E., Honkura, Y., Jones, C., Kono, M., Matsushima, M., Sakuraba, A., Takahashi, F., Tilgner, A., Wicht, J., Zhnag, K. (2001) "A numerical dynamo benchmark", *Physics of the Earth and Planetary Interiors*, 128: 25-34, doi:10.1016/S0031-9201(01)00275-8
- Christensen, U. R. and Aubert, J. (2006) "Scaling properties of convection-driven dynamos in rotating spherical shells and application to planetary magnetic field", *Geophysical Journal International*, 166(1,1): 97-114, doi:10.1111/j.1365-246X.2006.03009.x
- Dziewonski, A. M. and Anderson, D. L. (1981) "Preliminary reference Earth model", *Physics of the Earth and Planetary Interiors*, 25: 297-356
- Gubbins, D. and Roberts, P. H. "Magnetohydrodynamics of the Earth's Core", Jacobs, J. A., ed., *Geomagnetism Volume 2* (Academic Press, 1987), p.1-183
- Heimpel, M. H., Aurnou, J. M., Al-Shamali, F. M., and Perez, N. G. (2005) "A numerical study of dynamo action as a function of spherical shell geometry", *Earth and Planetary Science Letters*, 236: 542-557, doi:10.1016/j.epsl.2005.04.032
- Heimpel, M. H. and Evans, M. E. (2013) "Testing the geomagnetic dipole and reversing dynamo models over Earth's cooling history", *Physics of the Earth and Planetary Interiors*, 224: 124-131, doi:10.1016/j.pepi.2013.07.007
- Kivelson, M. G., and Bagenal, F. "Planetary Magnetosphere", McFadden, L., Weissman, P. R., and Johnson, T. V. eds., *Encyclopedia of the Solar System second edition* (Academic Press, 2007), p.519-540
- Matsui, H., King, E., and Buffett, B. (2014) "Multiscale convection in a geodynamo simulation with uniform heat flux along the outer boundary", *Geochemistry, Geophysics, Geosystems*, 15: 3212-3225, doi:10.1002/2014GC005432
- Matsui, H., *Calypso User Manual Version 1.1*
- O'Rourke, J. G. and Stevenson, D. J. (2016) "Powering Earth's dynamo with magnesium precipitation from the core", *Nature*, 529: 387-389, doi:10.1038/nature16495
- Pozzo, M., Davies, C., Gubbins, D., and Alfe, D. "Transport properties for liquid silicon-oxygen-iron mixtures at Earth's core conditions", *Physical Review B*, 87(1), 014110, doi:10.1103/PhysRevB.87.014110
- Thebault, E., Finlay, C. C., Beggan, C. D., Alken, P., Aubert, J., Barrois, O., Bertrand, F., Bondar, T., Boness, A., Brocco, L., Canet, E., Chambodut, A., Chulliat, A., Coisson, P., Civet, F., Du, A., Fournier, A., Fratter, I., Gillet, N., Hamilton, B., Hamoudi, M., Hulot, G., Jager, T., Korte, M., Kuang, W., Lalanne, X., Langlais, B., Leger, J., Lesur, V., Lowes, F. J., Macmillan, S., Manda, M., Manoj, C., Maus, S., Olsen, N., Petrov, V., Ridley, V., Rother, M., Sabaka, T. J., Saturnino, D., Schachtschneider, R., Sirol, O., Tangborn, A., Thomson, A., Toffner-Clausen, L., Vigneron, P., Wardinski, I., and Zvereva, T. (2015) "International Geomagnetic Reference Field: the 12th generation", *Earth, Planets and Space*, 67:79, doi:10.1186/s40623-015-0228-9
- 河野長, David J. Stevenson (2003) *ダイナモ作用と地球・惑星の磁場*, 地震, 56(2): 311-325
- 高橋太(2005) *地球ダイナモシミュレーションの新たな発展*, 地学雑誌, 114(2): 123-131
- 綱川秀夫, *地球の磁場*, 山本明彦編著, *地球ダイナミクス* (朝倉書店, 2016) p.89-111
- 松島政貴, *地球ダイナモ, 地球電磁気・地球惑星圏学会学校教育ワーキング・グループ編, 太陽地球系科学* (京都大学出版会, 2010) p.237-251

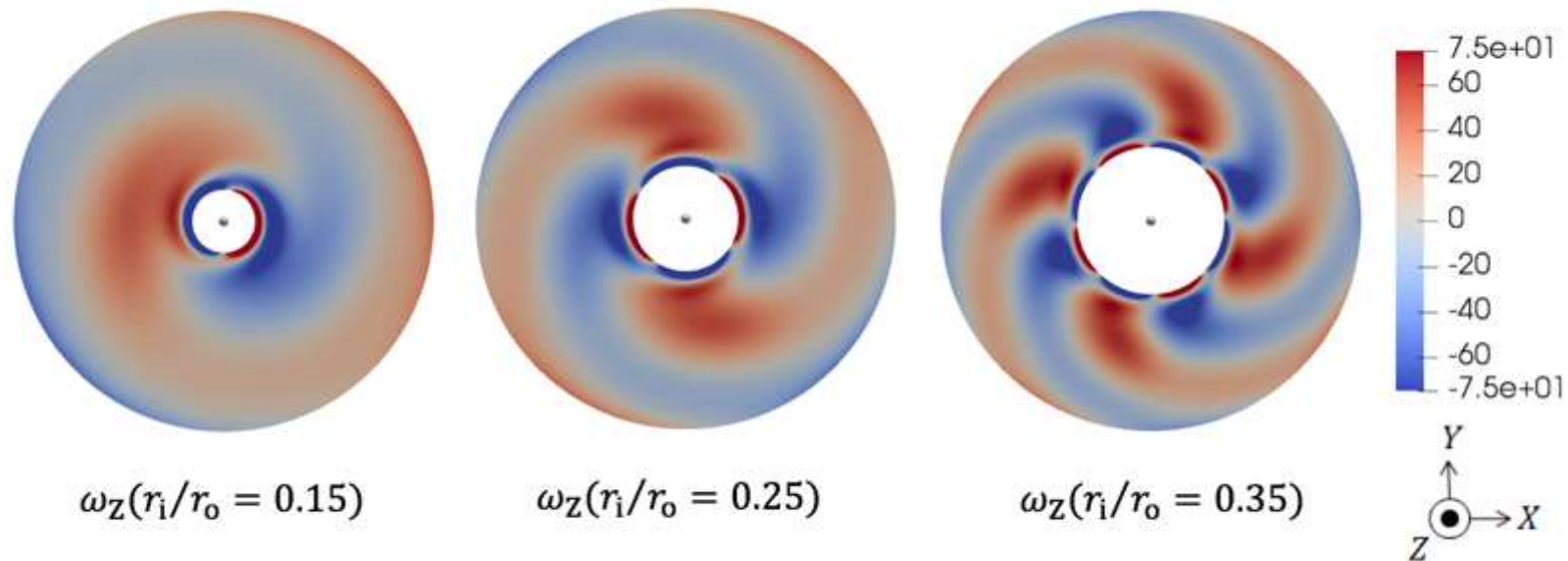
Appendix 1 Definition of physical quantities

Symbol	Definition
\mathbf{u}	velocity
\mathbf{B}	magnetic field
\mathbf{J}	current density
\mathbf{g}	acceleration of gravity
T	temperature
P	pressure
ρ	density
α_T	thermal expansion rate
Ω	rotation angular velocity
ν	kinematic viscosity coefficient
κ_T	temperature diffusion coefficient
η	magnetic field diffusion coefficient

$L(= r_o - r_i)$	outer core thickness
μ_0	magnetic permeability of vacuum
ΔT	difference between T at ICB and T at CMB
\mathbf{e}_z	normal vector of rotation axis direction
$\boldsymbol{\omega}(= \nabla \times \mathbf{u})$	vorticity

予備スライド

1 Dominant wavenumber



The azimuthal wavenumbers in the quasi steady state decrease when the core ratio becomes smaller. In other words, **a thicker shell (the smaller inner core) is likely to cause a larger structure.**

The critical wavenumber is fit to depend on r_i and L ;

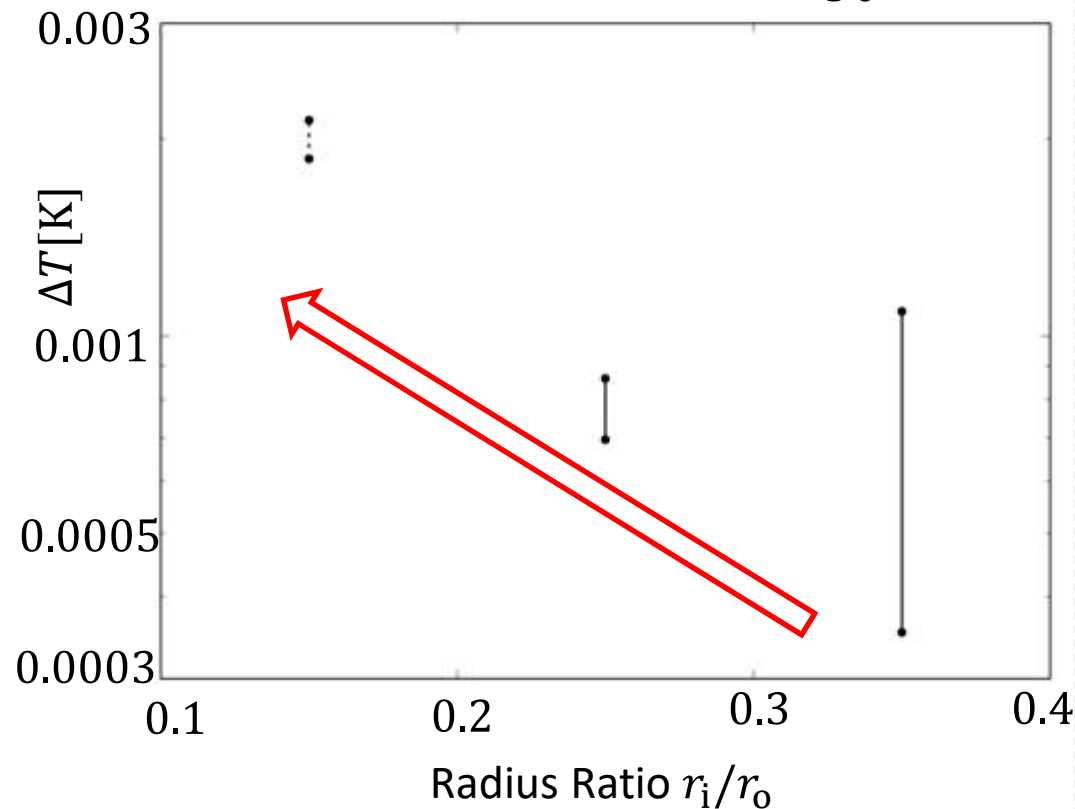
$$m_C = \frac{1}{0.89} \frac{2\pi r_i}{L} = \frac{1}{0.89} \frac{\chi}{1-\chi} \quad (\chi = r_i/r_o) \quad [\text{Al-Shamali et al., 2004}]$$

Using this formula, $m_C = 1.25, 2.35, 3.80$ in $r_i/r_o = 0.15, 0.25, 0.35$. The trend of our simulation data is consistent with their fitting.

2 Interpretation of simulation data

The average temperature difference between ICB and CMB; ΔT

$$\Delta T = \frac{\nu \Omega}{\alpha g_0 L} \frac{E}{Pr} Ra$$



$$E = 10^{-3}, Pr = 1$$

$$\eta = 1 \text{ m/s}^2 \rightarrow \nu = \eta \cdot Pm = 5 \text{ m/s}^2$$

$$\Omega = 7.27 \times 10^{-5} /s$$

$$\alpha = 5 \times 10^{-6} /K, g_0 = 10 \text{ m/s}^2$$

$$L = (1 - r_i/r_o) r_o$$

$$L = 0.75 \times 3485 \text{ km} = 2614 \text{ km},$$

$$L = 0.65 \times 3485 \text{ km} = 2265 \text{ km}$$

$$\text{in } r_i/r_o = 0.25, 0.35$$

The range of Ra of sustained dipolar dominant dynamo was

$$2.5 \times 10^5 \leq Ra \leq 3.1 \times 10^5,$$

$$1.1 \times 10^5 \leq Ra \leq 3.4 \times 10^5$$

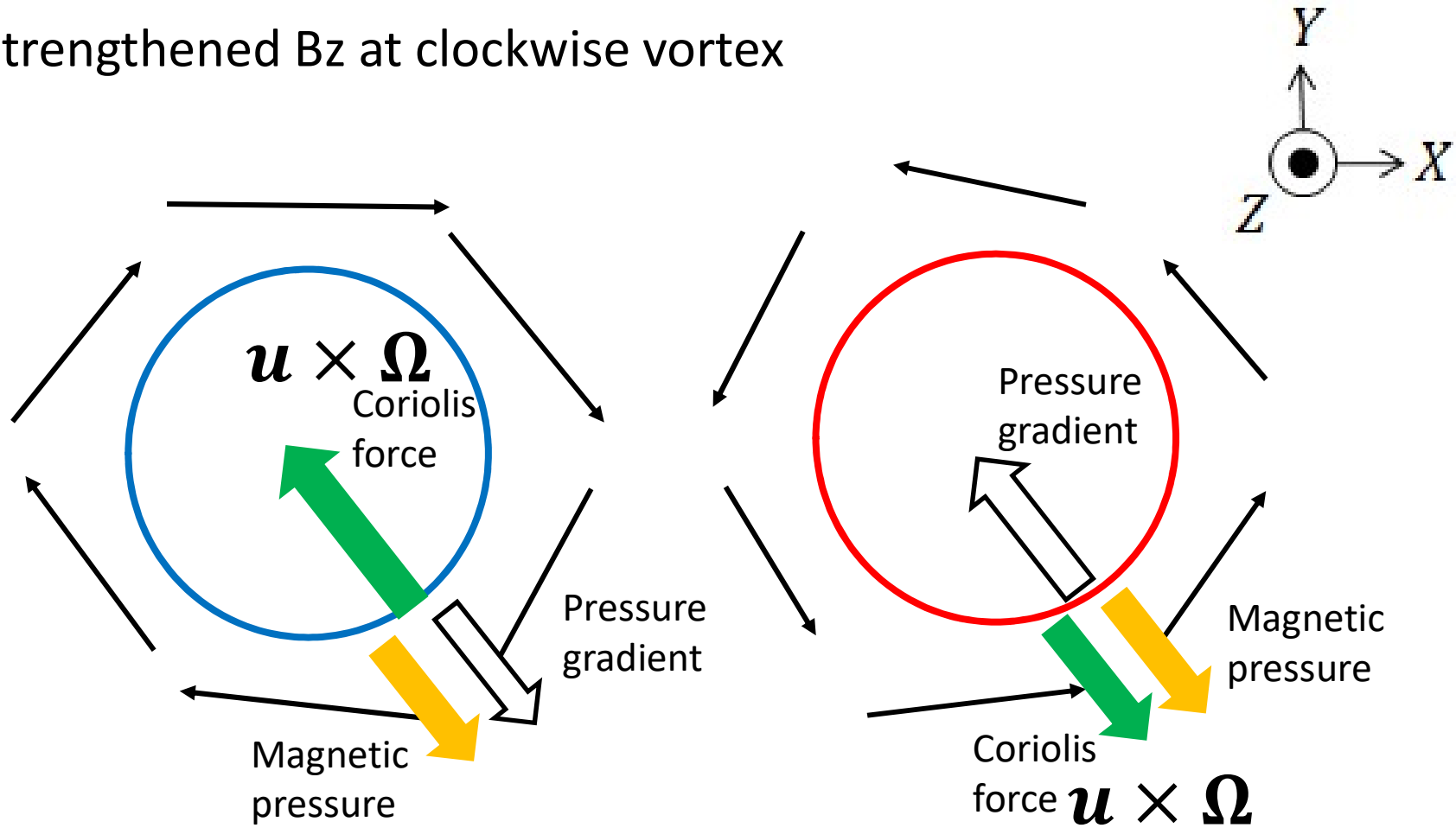
$$\text{in } r_i/r_o = 0.25, 0.35$$

$\rightarrow \Delta T$

r_i/r_o : smaller $\rightarrow \Delta T$: bigger

The required buoyancy should be large for the smaller inner core.

3 Strengthened Bz at clockwise vortex



Coriolis force: strong
→ Bz: strengthened

Coriolis force: weak
→ Bz: diffuse

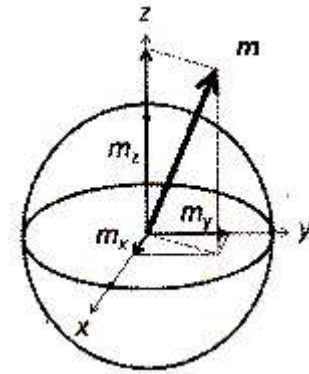
4 Magnetic dipole moment

$$l = 1$$

$$V = \frac{r_E}{\mu_0} \left\{ g_1^0 P_1^0(\cos\theta) + g_1^1 \cos\phi P_1^1(\cos\theta) + h_1^1 \sin\phi P_1^1(\cos\theta) \right\} \left(\frac{r_e}{r} \right)^2$$

$$= \frac{r_E^3}{\mu_0 r^2} (g_1^0 \cos\theta + g_1^1 \cos\phi \sin\theta + h_1^1 \sin\phi \sin\theta)$$

$$(\because P_1^0(\cos\theta) = \cos\theta, P_1^1(\cos\theta) = \sin\theta)$$



Putting magnetic dipole in the center of Earth

$$V = \frac{\mathbf{m} \cdot \mathbf{r}}{4\pi r^3} = \frac{m_x x + m_y y + m_z z}{4\pi r^3} = \frac{1}{4\pi r^2} \left(m_x \frac{x}{r} + m_y \frac{y}{r} + m_z \frac{z}{r} \right)$$

$$= \frac{1}{4\pi r^2} (m_x \sin\theta \cos\phi + m_y \sin\theta \sin\phi + m_z \cos\theta)$$

Comparing coefficients $m_x = \frac{4\pi r_E^3}{\mu_0} g_1^1, m_y = \frac{4\pi r_E^3}{\mu_0} h_1^1, m_z = \frac{4\pi r_E^3}{\mu_0} g_1^0$

Magnetic dipole moment

$$m = \frac{4\pi r_E^3}{\mu_0} \sqrt{(g_1^0)^2 + (g_1^1)^2 + (h_1^1)^2}$$

Inclination

$$\cos\theta_0 = \frac{m_z}{m} = \frac{g_1^0}{\sqrt{(g_1^0)^2 + (g_1^1)^2 + (h_1^1)^2}}$$

5 Differences between thermal and compositional convection

	Thermal	Compositional	
Ra	$\alpha_T g_0 (\Delta T) L / \nu \kappa_T$	$\alpha_C g_0 (\Delta C) L / \nu \kappa_C$	←
E	$\nu / \Omega L^2$	$\nu / \Omega L^2$	
Pr	ν / κ_T	ν / κ_C	←
Pm	ν / η	ν / η	

- Prandtl number

$$Pr_C / Pr_T = O(10^3) \text{ [Calkins et al., 2017]}$$

$$(\Leftrightarrow \kappa_T / \kappa_C = O(10^3))$$

- Rayleigh number

$$\alpha_T \approx 10^{-5} \text{K}^{-1}, \Delta T \approx 1000 \text{K}$$

$$\alpha_C \approx 0.1 ? (\text{Fe}_{0.82} \text{Si}_{0.10} \text{O}_{0.08} \text{ [Pozzo et al., 2013]}), \Delta C = ?$$

$$\text{If } \alpha_T \Delta T \sim \alpha_C \Delta C, Ra_C / Ra_T = O(10^3)$$